

Оценка фона Z -струи в исследовании ассоциированного рождения Z -бозона с фотоном

Научные руководители: Солдатов Е.Ю.
Пятиизбянцева Д.Н.

Студент: Казакова К.К



Кафедра физики
элементарных
частиц

Москва 2021



Описание процесса и мотивация

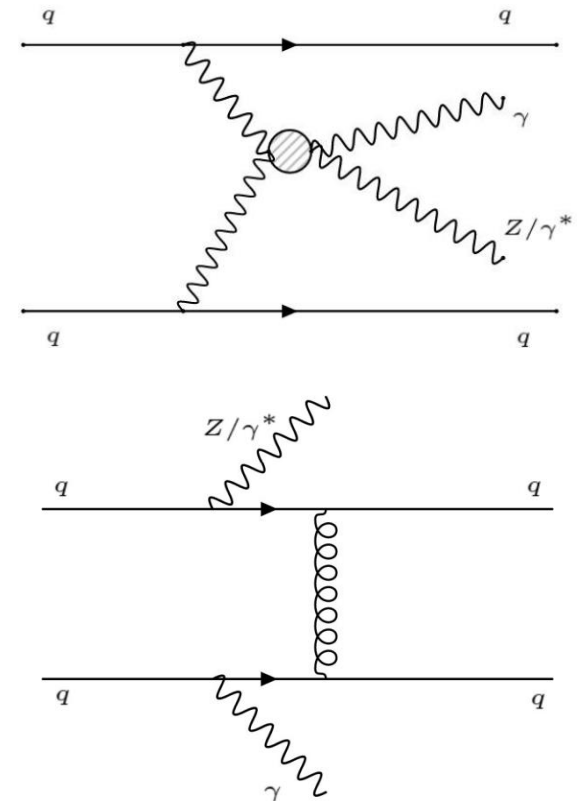
Исследуемые процессы: электрослабый $Z(\nu\nu)\gamma$ и КХД $Z(\nu\nu)\gamma$

Фоновые процессы: $W(\rightarrow l\nu)\gamma$, $t\bar{t}\gamma$, $e\rightarrow\gamma$, $\gamma+\text{jet}$, **jet $\rightarrow\gamma$** , $Z(\rightarrow ll)\gamma$

Мотивация: исследуемые процессы высокочувствительны к отклонениям от Стандартной Модели

Цели анализа:

- оптимально подавить фоновые события, обусловленные конфигурацией пучка
- оценить число фоновых событий, обусловленных неверной идентификацией адронной струи как фотона (**jet $\rightarrow\gamma$**) с помощью **ABCD-метода**
- оценить статистические и систематические погрешности числа фоновых событий
- оценить число фоновых событий с помощью **метода максимального правдоподобия** и сравнить результат со стандартным ABCD-методом



Используемые отборы

- **Сигнал:** электрослабый $Z(\nu\nu)\gamma$ и КХД $Z(\nu\nu)\gamma$

Предотборы

Переменная	Ограничение
E_T^{miss}	> 130 ГэВ
E_T^γ	> 150 ГэВ
Число фотонов	$N_\gamma = 1$
Число лептонов	$N_e = 0, N_\mu = 0$

Отборы

Переменная	Ограничение
Значимость E_T^{miss}	> 11
$ \Delta\phi(E_T^{\text{miss}}, \gamma) $	> 0.7
$ \Delta\phi(E_T^{\text{miss}}, j_1) $	> 0.4
$ \Delta\phi(E_T^{\text{miss}}, j_2) $	> 0.3



Регион с такими
предотборами и
отборами -
инклюзивный регион

Отбор фотонов

- В анализе используется три различные фотонные изоляции: FixedCutTight, FixedCutTightCaloOnly и FixedCutLoose

- Фотону присваивается значение **<<жесткий>> (tight)**, если он удовлетворяет всем критериям формы ЭМ ливня

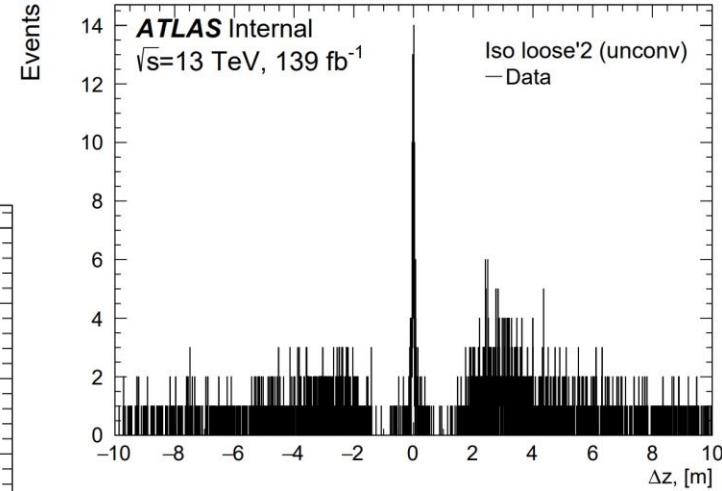
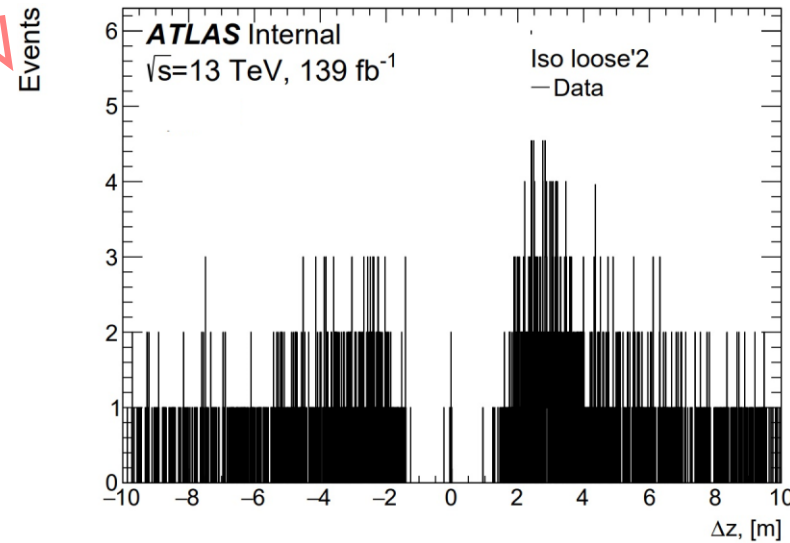
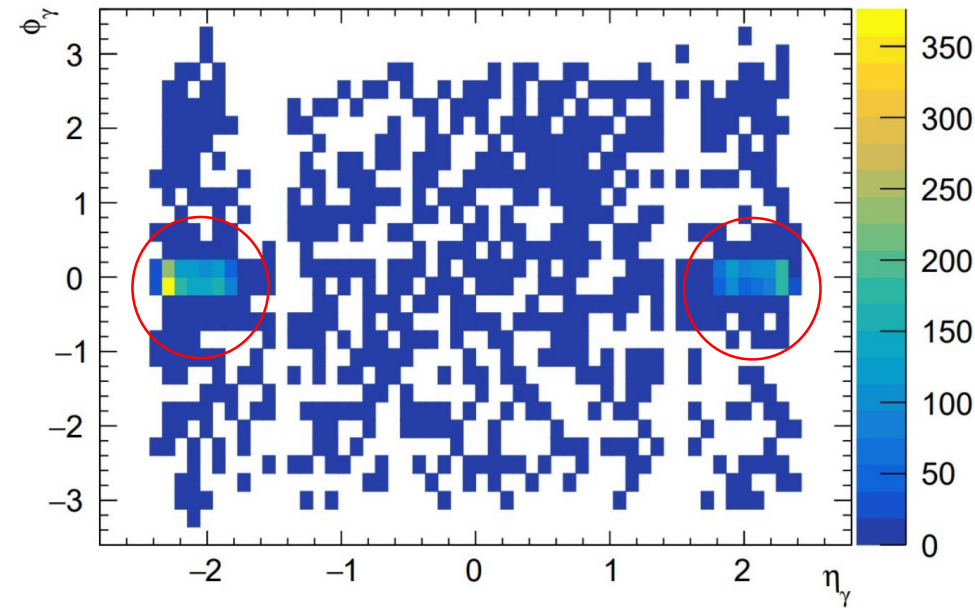
Изоляция	Калориметрическая изоляция	Трековая изоляция
FixedCutTightCaloOnly	$E_T^{\text{cone40}} - 0.022 \cdot p_T^\gamma < 2.45$ ГэВ	-
FixedCutTight	$E_T^{\text{cone40}} - 0.022 \cdot p_T^\gamma < 2.45$ ГэВ	$p_T^{\text{cone20}} / p_T^\gamma < 0.05$
FixedCutLoose	$E_T^{\text{cone20}} - 0.065 \cdot p_T^\gamma < 0$ ГэВ	$p_T^{\text{cone20}} / p_T^\gamma < 0.05$

- Если по крайней мере один из критериев формы ЭМ ливня нарушается, то фотону присваивается значение **<<мягкий>> (loose')**.

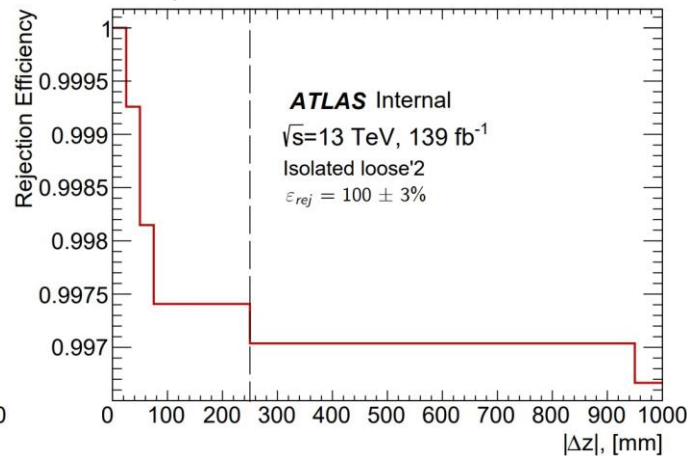
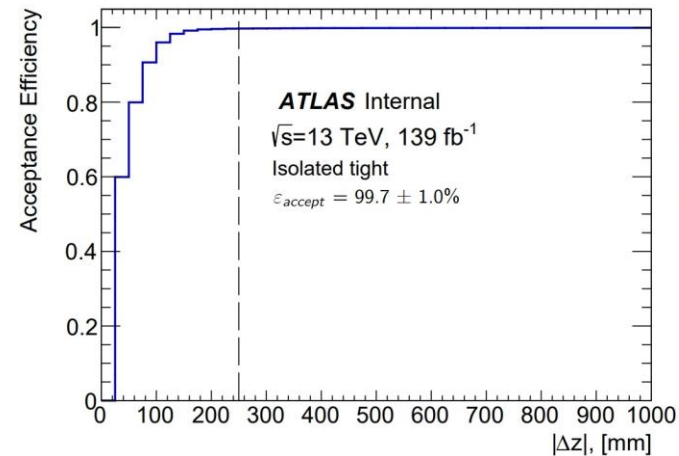
Фон, обусловленный конфигурацией пучка

- Изолированная область с «мягкими» фотонами содержит фоновые события, которые обусловлены конфигурацией пучка
- Преимущественно фон состоит из неконверсионных фотонов

Ограничение на $|\phi| < 0.2$ и $|\eta| > 1.7$



$$\Delta z = z_\gamma - z_{vtx}$$



- Наиболее эффективному отбору соответствует $|\Delta z| < 250 \text{ mm}$
- Значение для эффективности сигнала составляет $\epsilon_{\text{accept}} = 99.7 \pm 1.0 \%$
- Значение для эффективности режекции $\epsilon_{\text{rej}} = 100 \pm 3 \%$

ABCD-метод оценки фона jet $\rightarrow \gamma$ (I)

- В качестве переменных используются идентификационные и изоляционные критерии для фотонов, они не должны коррелировать

- Применена изоляция **FixedCutTight**

A (CP): $E_T^{\text{cone40}} - 0.022 p_T^\gamma < 2.45$, tight

B (KO): $2.45 + \text{isogap} < E_T^{\text{cone40}} - 0.022 p_T^\gamma$, tight

C (KO): $E_T^{\text{cone40}} - 0.022 p_T^\gamma < 2.45$, non-tight

D (KO): $2.45 + \text{isogap} < E_T^{\text{cone40}} - 0.022 p_T^\gamma$, non-tight

$$R = \frac{N_A N_D}{N_C N_B}$$

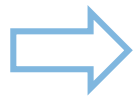
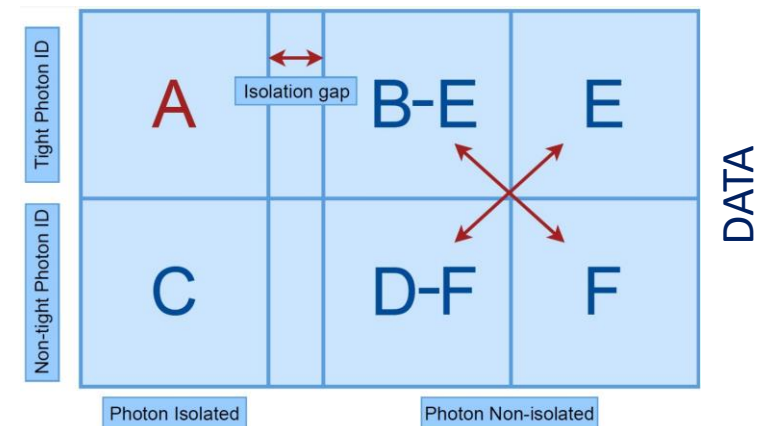
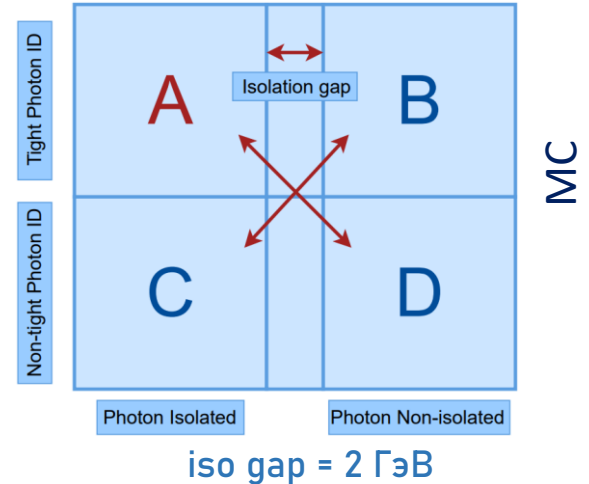
$$+ p_T^{\text{cone20}} / p_T^\gamma < 0.05$$

- <<Мягкие>> фотоны (loose') удовлетворяют не всем критериям формы ЭМ ливня

Оценка R фактора до оптимизации

$$R_{\text{data}} = \frac{N_{B-E}^{\text{data}} N_F^{\text{data}}}{N_{D-F}^{\text{data}} N_E^{\text{data}}}$$

FixedCutTight	loose'2	loose'3	loose'4	loose'5
MC	1.10 ± 0.16	1.18 ± 0.15	1.24 ± 0.15	1.45 ± 0.17
Data-driven	2.0 ± 0.5	1.8 ± 0.5	1.7 ± 0.4	1.7 ± 0.4




Необходимо переоптимизировать регионы из-за сильной корреляции

ABCD-метод оценки фона jet $\rightarrow \gamma$ (II)

- Наиболее оптимальное ограничение сверху = 25.45 ГэВ

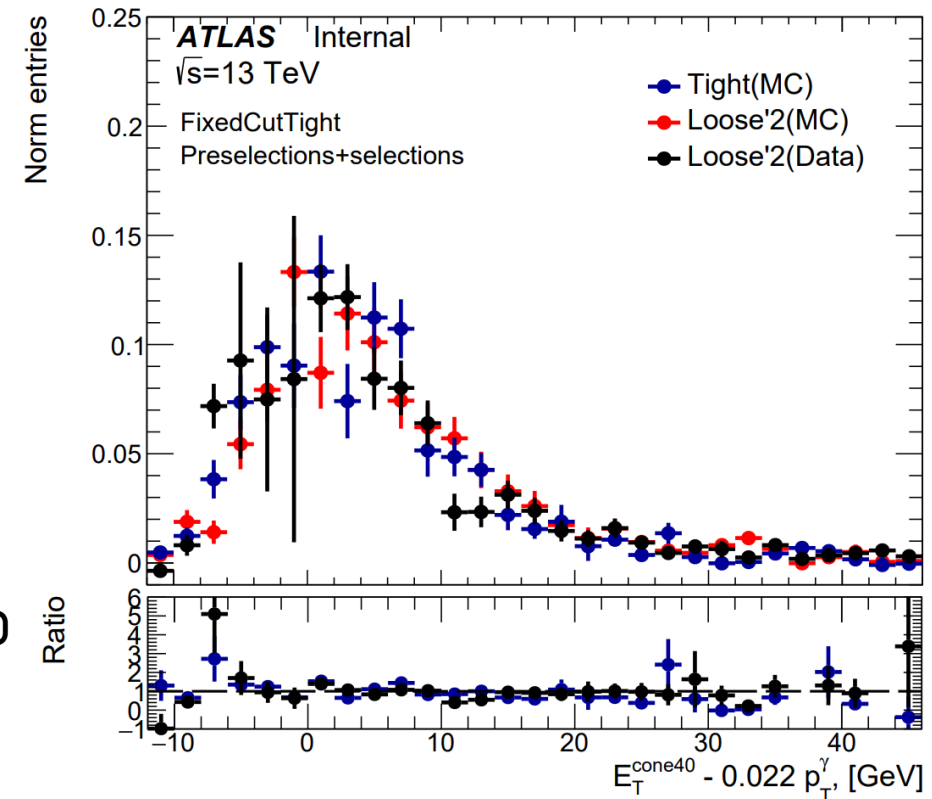
FixedCutTight, ограничение = 25.45 GeV

MC				
	loose'2	loose'3	loose'4	loose'5
R-factor	1.12 ± 0.16	1.21 ± 0.17	1.28 ± 0.16	1.44 ± 0.18
Data-driven				
Cut	loose'2	loose'3	loose'4	loose'5
8.75	1.0 ± 0.3	1.0 ± 0.3	1.0 ± 0.3	1.1 ± 0.3

- R фактор на данных имеет крайне большую погрешность
 применим **инверсию трековой изоляции** в неизолированных КО

FixedCutTight (инверсия), (ограничение = 25.45 GeV)

MC				
	loose'2	loose'3	loose'4	loose'5
R-factor	1.07 ± 0.13	1.23 ± 0.14	1.34 ± 0.14	1.62 ± 0.17
Data-driven				
Cut	loose'2	loose'3	loose'4	loose'5
9.95	1.18 ± 0.12	1.23 ± 0.11	1.22 ± 0.10	1.26 ± 0.10
10.45	1.12 ± 0.11	1.16 ± 0.11	1.16 ± 0.10	1.22 ± 0.10
10.95	1.20 ± 0.12	1.25 ± 0.11	1.24 ± 0.11	1.30 ± 0.11



- Точка разделения КО В-Е и Е равна 10.45 ГэВ
- Наилучшей точкой выбрана loose'2

ABCD-метод оценки фона jet $\rightarrow \gamma$ (III)

- Каждый регион можно разбить следующим образом:

$$\begin{cases} N_A = N_A^{\text{sig}} + N_A^{\text{bkg}} + N_A^{\text{jet} \rightarrow \gamma}; \\ N_B = c_B N_A^{\text{sig}} + N_B^{\text{bkg}} + N_B^{\text{jet} \rightarrow \gamma}; \\ N_C = c_C N_A^{\text{sig}} + N_C^{\text{bkg}} + N_C^{\text{jet} \rightarrow \gamma}; \\ N_D = c_D N_A^{\text{sig}} + N_D^{\text{bkg}} + N_D^{\text{jet} \rightarrow \gamma}; \end{cases}$$

$$c_i = \frac{N_i^{\text{sig}}}{N_A^{\text{sig}}}$$

$$\tilde{N}_i = N_i - N_i^{\text{bkg}}$$



Параметры утечки сигнала в КО

	c_B	c_C	c_D
Значение	0.00645 ± 0.00018	0.0091 ± 0.0002	0.00011 ± 0.00002

С учётом R фактора на данных, получим уравнение:

$$N_A^{\text{sig}} = \tilde{N}_A - R(\tilde{N}_B - c_B N_A^{\text{sig}}) \frac{\tilde{N}_C - c_C N_A^{\text{sig}}}{\tilde{N}_D - c_D N_A^{\text{sig}}}$$

- Количества фоновых событий в каждом регионе

	Data	$W\gamma$ QCD	$W\gamma$ EWK	$W(e\nu), top, tt$	$tt\gamma$	$\gamma + \text{jet}$	$Z(l\ell)\gamma$	$W(\tau\nu)$
A	blinded ± 49	681 ± 8	65.6 ± 0.5	180 ± 3	184 ± 3	258 ± 16	20.6 ± 1.1	13 ± 4
B	619 ± 25	3.8 ± 0.5	0.23 ± 0.03	1.052 ± 0.014	1.3 ± 0.2	13 ± 3	0.12 ± 0.06	51 ± 4
C	67 ± 8	6.0 ± 0.7	0.68 ± 0.05	2.24 ± 0.03	2.0 ± 0.3	2.3 ± 1.2	0.14 ± 0.06	11 ± 3
D	431 ± 21	0.03 ± 0.03	0.011 ± 0.006	0 ± 0	0.11 ± 0.06	0 ± 0	0 ± 0	48 ± 4



Решение уравнения имеет вид: $N_A^{\text{sig}} = \frac{b - \sqrt{b^2 - 4ac}}{2a}$, где

$$\begin{cases} a = c_D - R c_B c_C; \\ b = \tilde{N}_D + c_D \tilde{N}_A - R(c_B \tilde{N}_C + c_C \tilde{N}_B); \\ c = \tilde{N}_D \tilde{N}_A - R \tilde{N}_C \tilde{N}_B. \end{cases}$$

- Подставляя найденное решение в систему уравнений, получим оценку фоновых событий в сигнальном регионе $N_A^{\text{jet} \rightarrow \gamma} = 54$

Оценка погрешностей

Статистическая погрешность: числа событий в каждой КО были независимо проварьированы на $\pm 1\sigma$ для данных и всех фонов. Полученные значения были просуммированы в квадратурах.

Итоговая статистическая погрешность: $\delta = 28\%$

Систематическая погрешность:

- варьирование изоляционного промежутка и использование альтернативных loose' (19%)
- погрешность от различных МК генераторов и моделей партонных ливней (0%)

Центральное значение	54_{-15}^{+15}
loose'3	-4
loose'4	+10
loose'5	+8
Изоляционный зазор +0.5 ГэВ	± 0
Изоляционный зазор -0.9 ГэВ	+1

Параметры утечки	Различные МК генераторы и модели партонных ливней		
	MadGraph+Pythia8, Sherpa 2.2	MadGraph+Herwig7, MadGraph+Pythia8	δ
c_B	0.00645 ± 0.00018	0.0039 ± 0.0006	40%
c_C	0.0091 ± 0.0002	0.0093 ± 0.0008	2%
c_D	0.00011 ± 0.00002	0.00015 ± 0.00008	27%
$jet \rightarrow \gamma$	54_{-15}^{+15}	54_{-15}^{+15}	0%

- погрешности на эффективность реконструкции фотона (1.3%)

$$\sigma_{iso}^{c_B} = \delta_{iso}^{eff} \cdot (c_B + 1)/c_B$$

$$\sigma_{ID}^{c_C} = \delta_{ID}^{eff} \cdot (c_C + 1)/c_C$$

$$\sigma_{iso}^{c_D} = \delta_{iso}^{eff} \cdot (c_B + 1)/c_B$$

$$\sigma_{ID}^{c_D} = \delta_{ID}^{eff} \cdot (c_C + 1)/c_C$$

$$\left\{ \begin{array}{l} \delta_{iso}^{eff} = 0.013 \\ \delta_{ID}^{eff} = 0.013 \end{array} \right\}$$



$$N_A^{jet \rightarrow \gamma} = 54 \pm 15(\text{стат.}) \pm 10(\text{сист.})$$

МК наборы Zj и Multijet предсказывают 17 ± 12 событий

Итоговая систематическая погрешность: $\delta = 19\%$

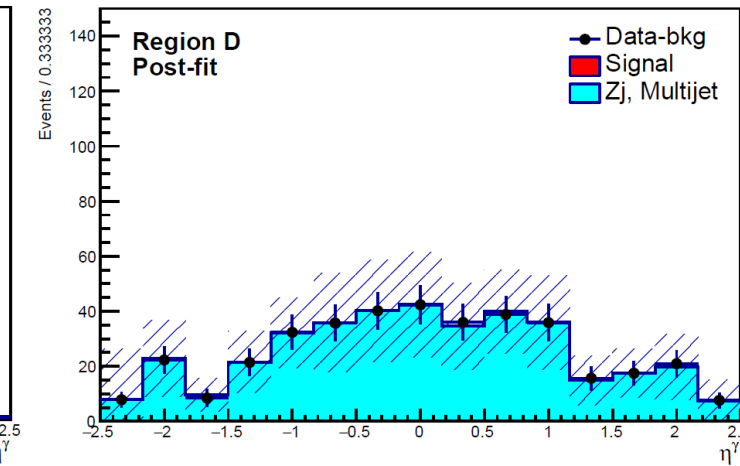
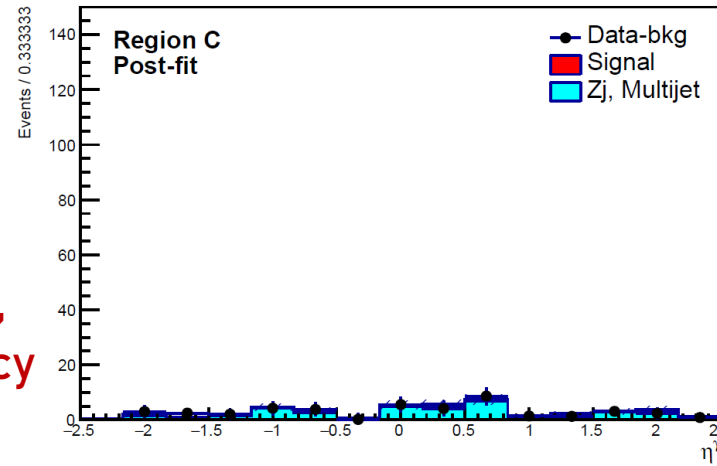
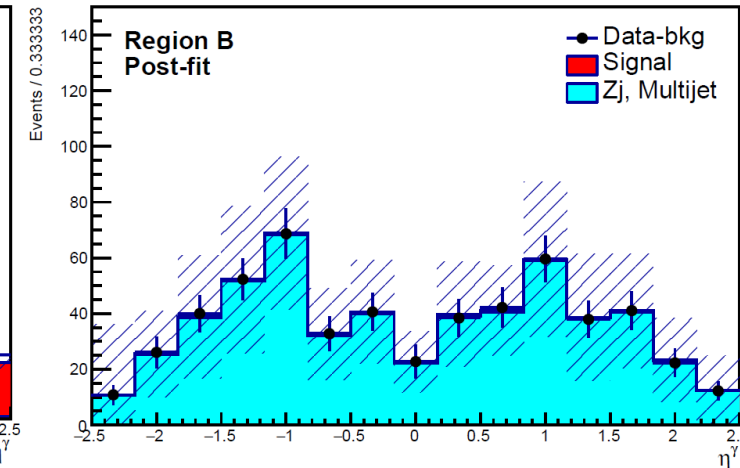
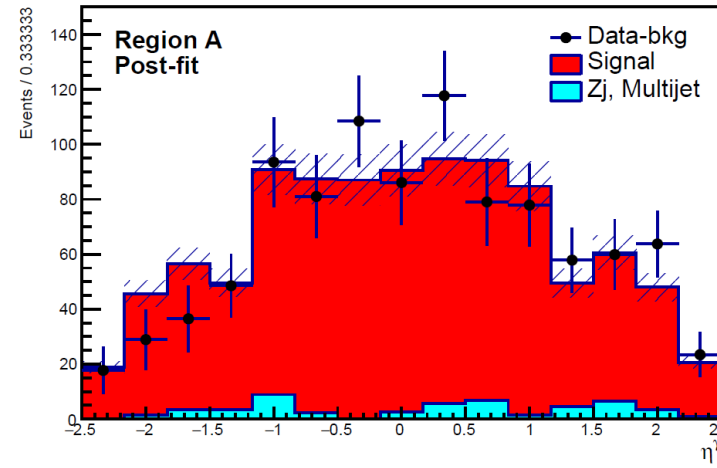
Метод максимального правдоподобия

- **Альтернативный способ** оценки фона
- Модель создана на основе пакета **TRooFit**
- Требование R фактор = 1

Преимущества модели:

- учёт биннига внутри регионов
- возможность использования значения корреляционного фактора, полученного на основе данных

Идея: фитирование формы сигнала и исследуемого фона данными за вычетом фона, который не относится к исследуемому процессу



- Оценка событий методом максимального правдоподобия в сигнальной области A составила $N_A^{\text{jet} \rightarrow \gamma} = 51 \pm 6$, что совпадает с оценкой, полученной стандартным ABCD-методом

Заключение

В соответствии с поставленной задачей в результате данного анализа:

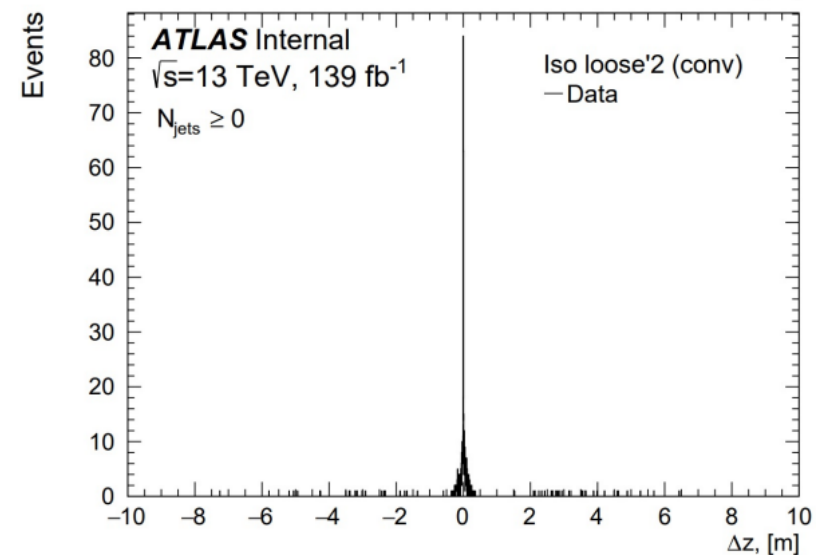
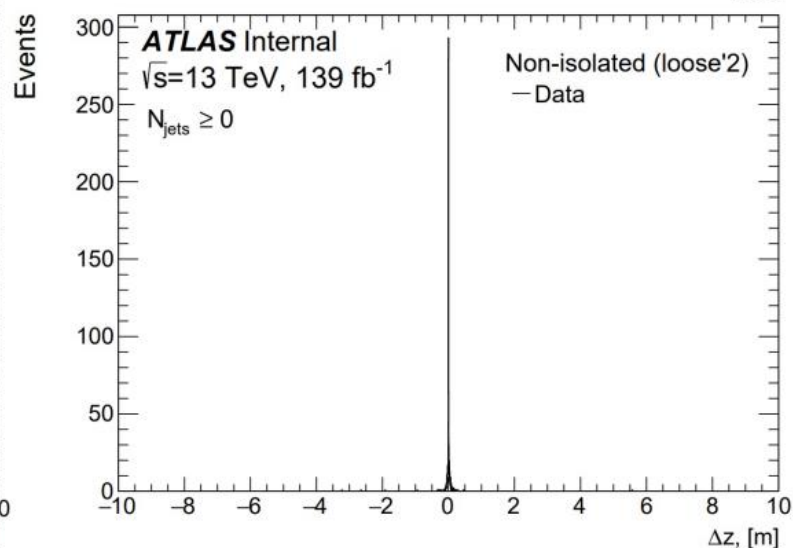
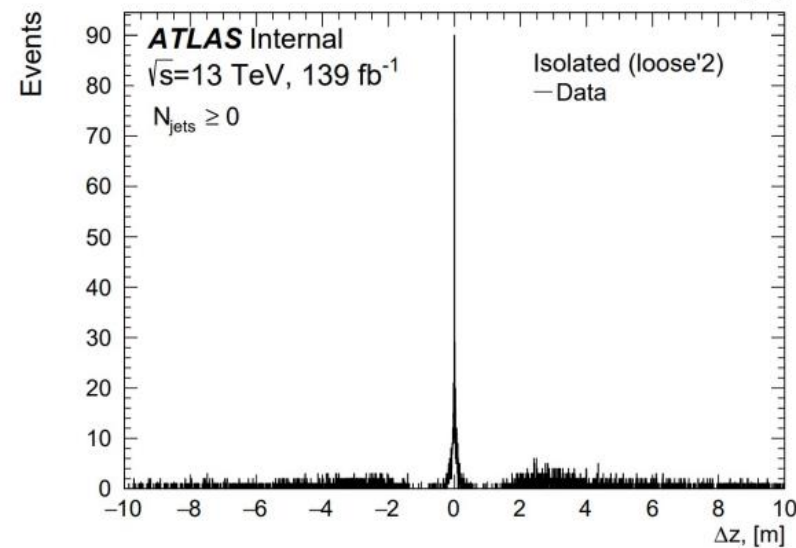
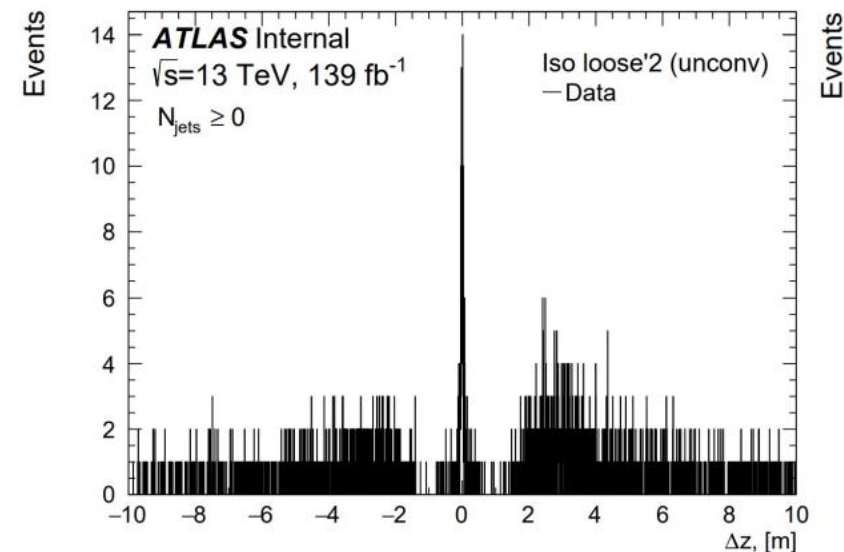
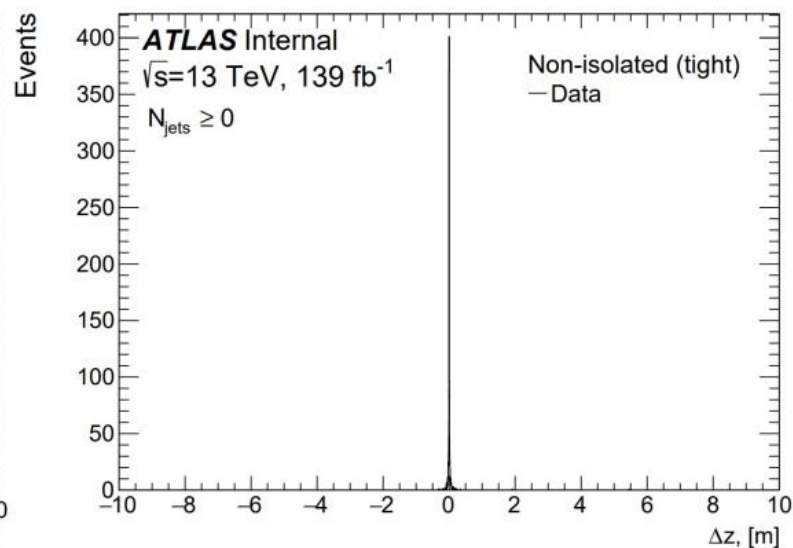
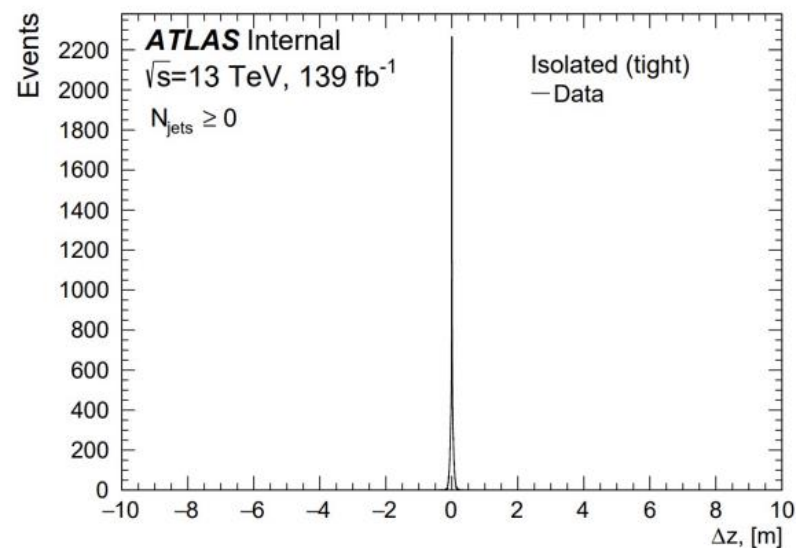
- **выбран наиболее оптимальный отбор** на координатную переменную Δz для подавления фона, обусловленного конфигурацией пучка
- **оптимизированы регионы** двумерного метода боковых интервалов для исследуемого процесса
- **получена оценка центрального значения фоновых событий $jet \rightarrow \gamma$** в сигнальной области, а также оценены статистические и систематические погрешности, в результате получено $N_A^{jet \rightarrow \gamma} = 54 \pm 15(\text{стат.}) \pm 10(\text{сист.})$
- **начата работа над методом максимального правдоподобия** и **получена первичная оценка числа фоновых событий**, которая составляет $N_A^{jet \rightarrow \gamma} = 51 \pm 6$, что совпадает в пределах погрешностей со значением, полученным ABCD-методом

В дальнейшем планируется:

- 1) **переоптимизировать** регионы ABCD-метода с учетом отборов по новым переменным
- 2) **продолжить работу** над методом максимального правдоподобия
- 3) **получить оценку фона** с помощью Матричного Метода

BACK-UP

Фон от столкновения пучков частиц



Оптимизация ABCD-метода

$loose'2 : w_{s3}, F_{side}$

$loose'3 : w_{s3}, F_{side}, \Delta E$

$loose'4 : w_{s3}, F_{side}, \Delta E, E_{ratio}$

$loose'5 : w_{s3}, F_{side}, \Delta E, E_{ratio}, w_{tot}$

$$R_{data} = \frac{N_{B-E}^{data} N_F^{data}}{N_{D-F}^{data} N_E^{data}}$$

$U_c = 29.45$ ГэВ, $M_c = 11.45$ ГэВ

FixedCutTight	loose'2	loose'3	loose'4	loose'5
MC	1.09 ± 0.16	1.17 ± 0.16	1.24 ± 0.15	1.41 ± 0.17
Data-driven	2.0 ± 0.5	1.8 ± 0.5	1.7 ± 0.4	1.8 ± 0.4
FixedCutTightCaloOnly	loose'2	loose'3	loose'4	loose'5
MC	1.08 ± 0.11	1.16 ± 0.11	1.24 ± 0.11	1.40 ± 0.12
Data-driven	1.30 ± 0.12	1.33 ± 0.11	1.27 ± 0.10	1.29 ± 0.10
FixedCutLoose	loose'2	loose'3	loose'4	loose'5
MC	1.6 ± 0.3	1.6 ± 0.3	1.6 ± 0.3	2.0 ± 0.4
Data-driven	2.6 ± 1.0	2.1 ± 0.8	2.2 ± 0.8	2.05 ± 0.7

- w_{s3} - ширина электромагнитного ливня с использованием трёх стриповых (первых слоёв ЭМ калориметра) слоёв вокруг стрипового слоя с максимальной энергией
- F_{side} - энергия вне трёх стриповых слоёв, но внутри семи слоёв
- ΔE - разница энергий стриповых слоёв, где в одном слое выделилась вторая по величине энергия, и слоя, где выделилась наименьшая энергия
- E_{ratio} - отношение разности энергий, ассоциированных с наиболее высоким и вторым по величине выделением энергии к сумме этих энергий;
- w_{tot} - полная поперечная ширина ливня

Оптимизация ABCD-метода

FixedCutTight, ограничение = 25.45 GeV

MC

	loose'2	loose'3	loose'4	loose'5
R-factor	1.12 ± 0.16	1.21 ± 0.17	1.28 ± 0.16	1.44 ± 0.18

Data-driven

Cut	loose'2	loose'3	loose'4	loose'5
6.95	1.1 ± 0.4	1.2 ± 0.4	1.2 ± 0.4	1.2 ± 0.4
7.45	1.2 ± 0.3	1.1 ± 0.3	1.1 ± 0.3	1.1 ± 0.3
7.95	1.2 ± 0.3	1.2 ± 0.3	1.2 ± 0.3	1.2 ± 0.3
8.45	1.1 ± 0.3	1.1 ± 0.3	1.1 ± 0.3	1.1 ± 0.3
8.75	1.0 ± 0.3	1.0 ± 0.3	1.0 ± 0.3	1.1 ± 0.3
8.95	1.1 ± 0.3	1.1 ± 0.3	1.1 ± 0.3	1.1 ± 0.3
9.45	1.3 ± 0.3	1.3 ± 0.3	1.3 ± 0.3	1.3 ± 0.3

FixedCutTight (инверсия), (ограничение = 25.45 GeV)

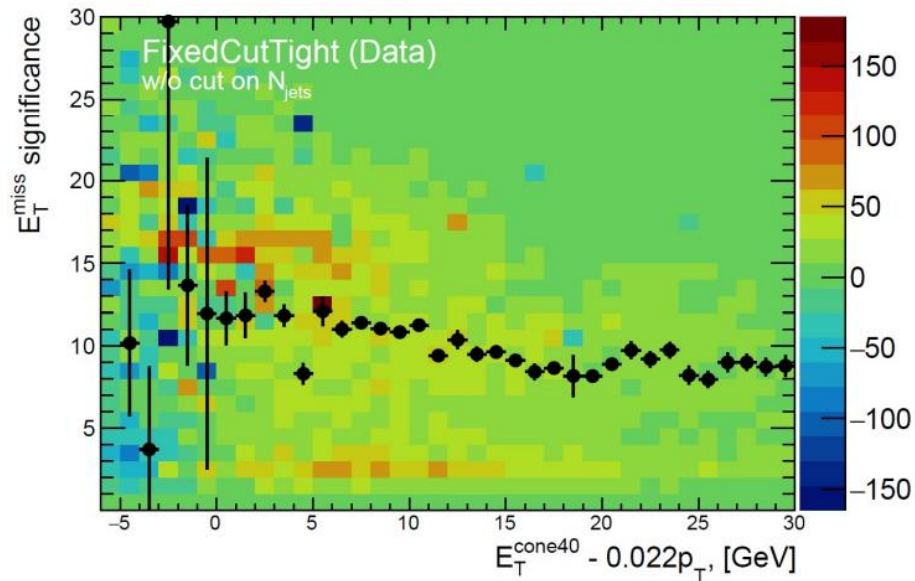
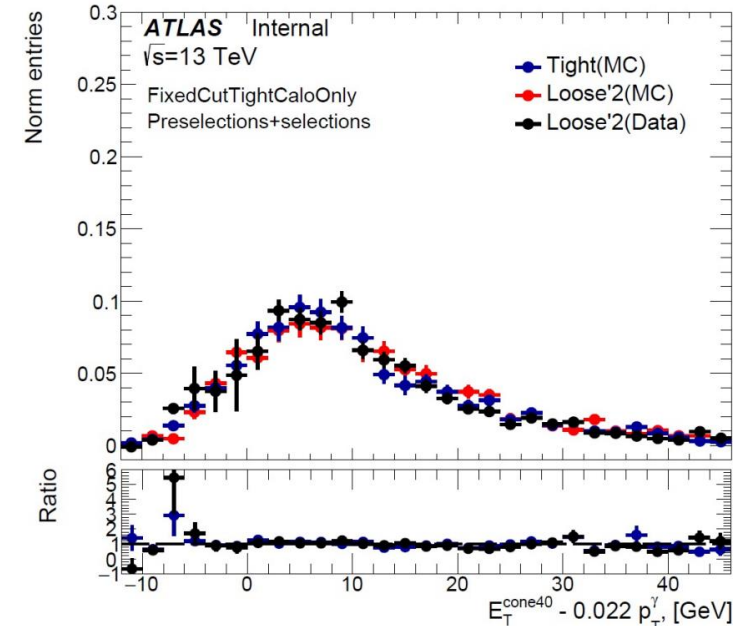
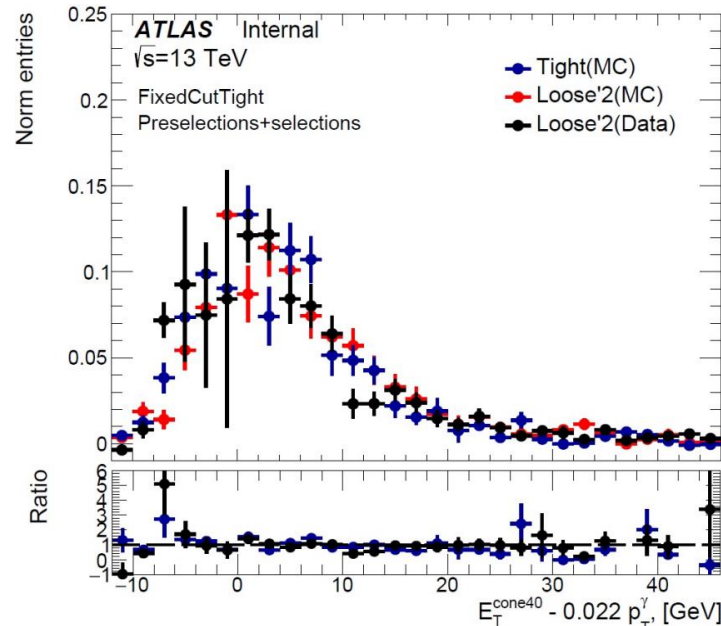
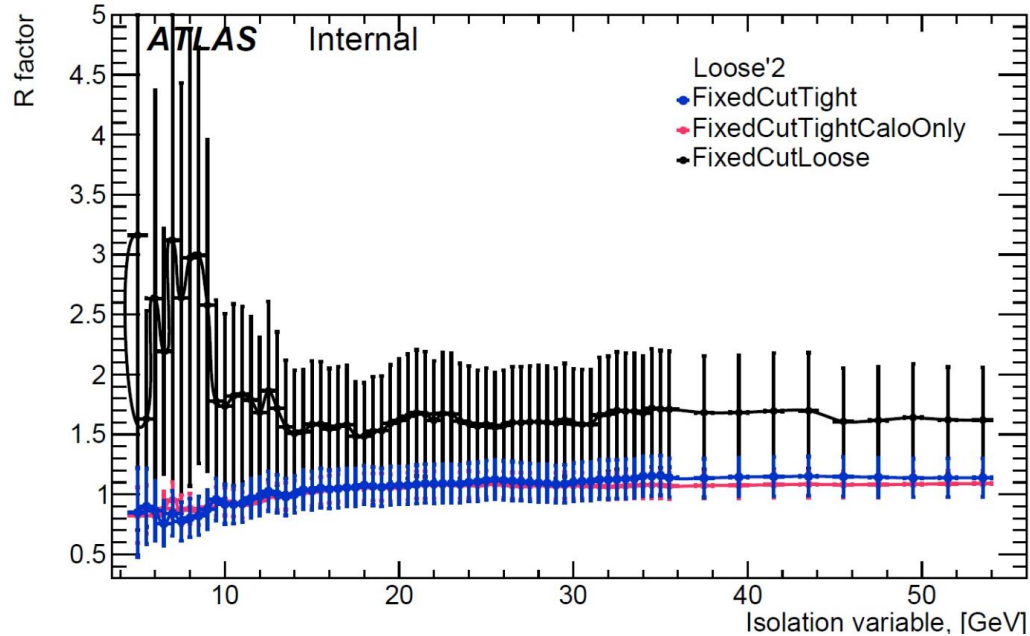
MC

	loose'2	loose'3	loose'4	loose'5
R-factor	1.07 ± 0.13	1.23 ± 0.14	1.34 ± 0.14	1.62 ± 0.17

Data-driven

Cut	loose'2	loose'3	loose'4	loose'5
9.95	1.18 ± 0.12	1.23 ± 0.11	1.22 ± 0.10	1.26 ± 0.10
10.45	1.12 ± 0.11	1.16 ± 0.11	1.16 ± 0.10	1.22 ± 0.10
10.95	1.20 ± 0.12	1.25 ± 0.11	1.24 ± 0.11	1.30 ± 0.11
11.45	1.26 ± 0.13	1.32 ± 0.12	1.28 ± 0.11	1.33 ± 0.11

Оптимизация ABCD-метода



FixedCutTightCaloOnly, без ограничения на U_{cut}

МК

	loose'2	loose'3	loose'4	loose'5
R-factor	1.10 ± 0.11	1.19 ± 0.11	1.27 ± 0.11	1.45 ± 0.12

Данные

M_{cut}	loose'2	loose'3	loose'4	loose'5
10.45	1.21 ± 0.10	1.25 ± 0.10	1.21 ± 0.09	1.23 ± 0.09

Метод максимального правдоподобия

Основное предположение ABCD-метода:

$$\tilde{N}_A = \tilde{m}\tilde{N}_B, \tilde{N}_C = \tilde{m}\tilde{N}_D$$

Количество событий в данных по регионам: $\text{data} = \{N_A, N_B, N_C, N_D\}$

Функция правдоподобия:

$$L(\text{data} | \tilde{N}_B, \tilde{N}_D, \tilde{m}) = (N_A | \tilde{m}\tilde{N}_B) \text{Pois}(N_B | \tilde{N}_B) \text{Pois}(N_C | \tilde{m}\tilde{N}_D) \text{Pois}(N_D | \tilde{N}_D)$$

$$L(\text{data} | \tilde{N}_B, \tilde{N}_D, \tilde{m}) = \frac{e^{-\tilde{N}_{tot}} \cdot (\tilde{m}\tilde{N}_B)^{N_A} \cdot (\tilde{N}_B)^{N_B} \cdot (\tilde{m}\tilde{N}_D)^{N_C} \cdot (\tilde{N}_D)^{N_D}}{N_A! \cdot N_B! \cdot N_C! \cdot N_D!}$$

$$\tilde{N}_{tot} = \tilde{m}\tilde{N}_B + \tilde{N}_B + \tilde{m}\tilde{N}_D + \tilde{N}_D$$

Дифференцирование по свободным параметрам:

$$\begin{cases} \frac{\partial L}{\partial \tilde{m}} = -\tilde{N}_B - \tilde{N}_D + \frac{N_A}{\tilde{m}} + \frac{N_C}{\tilde{m}} = 0, \\ \frac{\partial L}{\partial \tilde{N}_B} = -\tilde{m} - 1 + \frac{N_A}{\tilde{N}_B} + \frac{N_B}{\tilde{N}_B} = 0, \\ \frac{\partial L}{\partial \tilde{N}_D} = -\tilde{m} - 1 + \frac{N_C}{\tilde{N}_D} + \frac{N_D}{\tilde{N}_D} = 0. \end{cases}$$



$$\tilde{m} = \frac{N_A + N_C}{N_B + N_D}$$

$$\tilde{N}_B = \frac{(N_A + N_B)(N_B + N_D)}{N_A + N_B + N_C + N_D}$$

$$\tilde{N}_D = \frac{(N_C + N_D)(N_B + N_D)}{N_A + N_B + N_C + N_D}$$